

03

## Дегазация жидкости при течении в трубе в условиях падения давления

© Э.Л. Китанин, Е.Ю. Кумзерова, А.С. Чернышев, А.А. Шмидт

Санкт-Петербургский государственный политехнический университет  
Физико-технический институт им. А.Ф. Иоффе РАН, С.-Петербург  
E-mail: alexander.schmidt@mail.ioffe.ru

Поступило в Редакцию 21 декабря 2006 г.

В рамках лагранжево-эйлеровского описания исследуется дегазация жидкости при течении в трубе под действием силы тяжести при падении давления. Рассматривается вклад гетерогенной нуклеации газовых пузырей и диффузии растворенного газа в образовавшиеся пузыри.

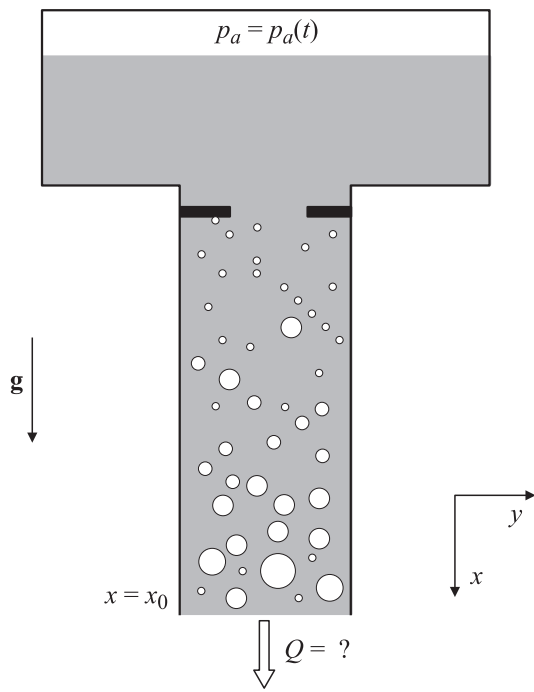
PACS: 47.55.Ca

**Постановка задачи и математическая модель.** Анализируется течение насыщенной газом жидкости под действием силы тяжести в вертикальной трубе (см. рис. 1). При падении внешнего давления ниже некоего критического в потоке начинается выделение газа из жидкости с образованием пузырей, что приводит к уменьшению расхода. Это явление представляет большой интерес как с точки зрения широкого круга приложений, так и для развития механики неравновесных многофазных сред.

При моделировании таких сред одним из наиболее эффективных является лагранжево-эйлеровское описание, в рамках которого несущая фаза (жидкость с растворенным газом) трактуется как сплошная среда, а дисперсная фаза (пузырьки) рассматривается как совокупность пробных частиц, за каждой из которых стоит набор реальных дисперсных включений, взаимодействующих с полем течения основной фазы.

Члены, учитывающие вклад процессов межфазного переноса массы, импульса и энергии, вычисляются с помощью специальной процедуры пространственно-временного осреднения траекторных параметров пробных частиц.

При описании среды рассматриваются следующие компоненты: жидкость ( $l$ ), растворенный газ ( $s$ ) и пузыри ( $b$ ). Плотность такой среды



**Рис. 1.** Условие моделирования потока в вертикальной трубе.

может быть записана в следующем виде:

$$\begin{aligned} \rho_m &= (1 - \alpha_b)\rho_{ls} + \alpha_b\rho_b \\ &= (1 - \alpha_b)[(1 - \alpha_s)\rho_l + \alpha_s\rho_s] + \alpha_b\rho_b \approx (1 - \alpha_b)(1 - \alpha_s)\rho_l. \end{aligned} \quad (1)$$

Здесь индексы  $m$ ,  $l$ ,  $b$ ,  $s$  относятся соответственно к смеси в целом, жидкости, пузырькам и растворенному газу,  $\rho$  — плотность,  $\alpha_i$  — объемная доля фазы  $i$ , связанная с массовой концентрацией  $c_i$  как  $c_i = \rho_i\alpha_i$ .

Динамика несущей фазы описывается в рамках модели невязкой среды и полагают, что вязкость жидкости проявляется только при взаимодействии с дисперсной фазой (пузырями). Процесс выделения

газа из жидкости считаем изотермичным, что может быть оправдано низкой теплотой растворения для рассматриваемого случая керосина и воздуха. Для растворенного газа и для дисперсной фазы справедлив закон идеального газа. Вблизи границы пузыря концентрация растворенного газа является равновесной и описывается законом Генри [1].

**Уравнения эйлеровского этапа.** Для осесимметричного случая система уравнений, включающая законы сохранения массы, импульса, может быть записана в виде [2]:

$$\frac{\partial z}{\partial t} + \frac{\partial Q_x}{\partial x} + \frac{\partial Q_y}{\partial y} = -f, \quad (2)$$

где  $z$  — вектор консервативных переменных,  $Q_x$ ,  $Q_y$  — потоки,  $f$  — источниковый член:

$$z = \begin{bmatrix} \rho_m \\ \rho_m u \\ \rho_m v \end{bmatrix}, \quad Q_x = \begin{bmatrix} \rho_m u \\ \rho_m u^2 + p_l \\ \rho_m uv \end{bmatrix}, \quad Q_y = \begin{bmatrix} \rho_m v \\ \rho_m uv \\ \rho_m v^2 + p_m \end{bmatrix},$$

$$f = \begin{bmatrix} \frac{\rho_m v}{y} + \Gamma \\ \frac{\rho_m uv}{y} + F_\Sigma^x + \Gamma u - \rho_m g \\ \frac{\rho_m v^2}{y} + F_\Sigma^y + \Gamma v \end{bmatrix}. \quad (3)$$

Здесь  $p_m$  — давление смеси,  $\Gamma$  — скорость межфазного переноса массы,  $F_\Sigma$  — сила межфазного взаимодействия,  $g$  — ускорение свободного падения. Предполагается, что скорость межфазного массообмена  $\Gamma$  определяется процессом диффузии растворенного газа в пузырь, а также скоростью образования пузырей (скоростью нуклеации):

$$\Gamma = \frac{3\alpha}{R} D \nabla c_s + \frac{4\pi}{3} R^3 \rho_s H. \quad (4)$$

Здесь  $R$  — радиус пробного пузыря,  $D$  — коэффициент диффузии,  $H$  — скорость нуклеации.

Силу межфазного взаимодействия представим следующей суммой сил, действующих со стороны жидкости на пузырь [2,3]:

$$\mathbf{F}_\Sigma = \frac{3\rho_m}{8R} C_D (\mathbf{V} - \mathbf{V}_b) |\mathbf{V} - \mathbf{V}_b| + \rho_m \frac{d\mathbf{V}}{dt} + \frac{1}{2} \rho_m \left( \frac{d\mathbf{V}}{dt} - \frac{d\mathbf{V}_b}{dt} \right) + \frac{1}{2} \rho_m [(\mathbf{V} - \mathbf{V}_b) \times (\nabla \times \mathbf{V})]. \quad (5)$$

Корреляция для коэффициента сопротивления  $C_D$  может быть представлена в следующем виде [3]:

$$C_D = \begin{cases} 16\text{Re}_b^{-1} & \text{Re}_b < 1.5, \\ 14.9\text{Re}_b^{-0.78} & 1.5 < \text{Re}_b < 80, \\ 48\text{Re}_b^{-1}(1 - 2.21\text{Re}_b^{-0.5}) + 1.86 \cdot 10^{-5}\text{Re}_b^{4.75} & 80 < \text{Re}_b < 1500, \\ 2.61 & 1500 < \text{Re}_b, \end{cases} \quad (6)$$

где  $\text{Re}_b = \frac{\rho_m R |\mathbf{V} - \mathbf{V}_b|}{\mu_l}$  — число Рейнольдса для пузыря,  $\mu_l$  — динамическая вязкость несущей фазы.

**Уравнения Лагранжева этапа** включают в себя описание процессов нуклеации и эволюции пузырей, а также диффузии растворенного газа внутрь пузырей. Система обыкновенных дифференциальных уравнений, описывающих поведение пробного пузыря, может быть записана следующим образом [2,4]:

$$\frac{d}{dt} \left[ \frac{4}{3} \pi R^3 \rho_b \right] = 4\pi R^2 d\nabla c_s, \quad (7)$$

$$R \frac{d^2 R}{dt^2} + \frac{3}{2} \left( \frac{dR}{dt} \right)^2 = \frac{1}{\rho_{ls}} \left\{ p_b - p_m - \frac{2\Sigma}{R} - \frac{4\mu_l}{R} \frac{dR}{dt} \right\},$$

$$\rho_b \frac{d}{dt} \mathbf{V}_b = \mathbf{F}_\Sigma + \mathbf{g}(\rho_b - \rho_{ls}).$$

Здесь  $\Sigma$  — коэффициент поверхностного натяжения,  $p_b$  — давление внутри пузыря.

Для определения массопереноса необходимо определить градиент концентрации растворенного газа  $\nabla c_s$  вблизи поверхности пузыря. Для этого запишем уравнение диффузии растворенного газа для сферической области, ограничивающей пробный пузырь:

$$D \frac{1}{r^2} \frac{\partial}{\partial r} \left( r^2 \frac{\partial c_s}{\partial r} \right) = 0. \quad (8)$$

Объем рассматриваемой сферической области должен быть эквивалентен объему пространства, приходящегося на один пузырь, т.е. радиус этой сферы может быть определен как  $L = R \sqrt[3]{\frac{4\pi}{3\alpha}}$ . Граничные условия

имеют следующий вид: на внешней границе области  $c_s|_{r=L} = c_s = \rho_s \alpha_s$ , на межфазной границе  $c_s|_{r=R} = C_{He} p_m$ , где  $C_{He}$  — константа Генри.

Предполагается, что распределение по размерам зародышей пузырей описывается логнормальным распределением [5], центрами образования пузырей могут быть только „надкритические“ зародыши с радиусом

$$R > R_{cr} = \frac{2\Sigma}{p^s - p_l}. \quad (9)$$

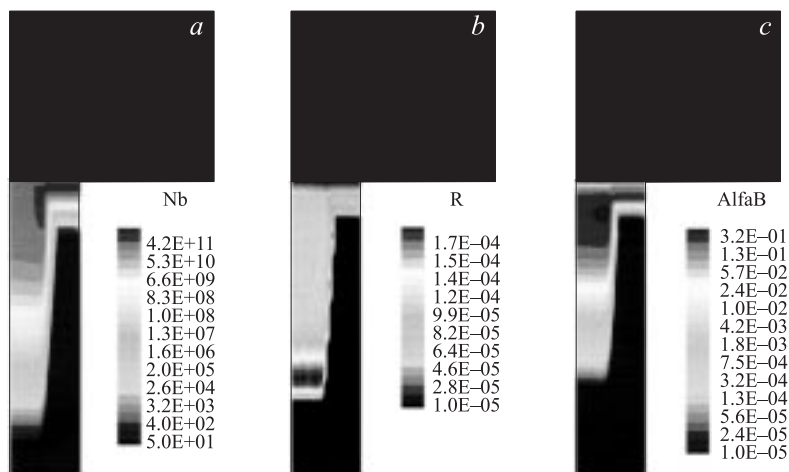
Здесь  $p^s$  — давление, соответствующее равновесной концентрации растворенного газа в данный момент времени.

Концентрация дисперсной фазы в данный момент времени определяется как площадь под кривой плотности вероятности (от текущего  $R_{cr}$  до  $\infty$ ), а скорость нуклеации соответственно определяется как скорость изменения площади.

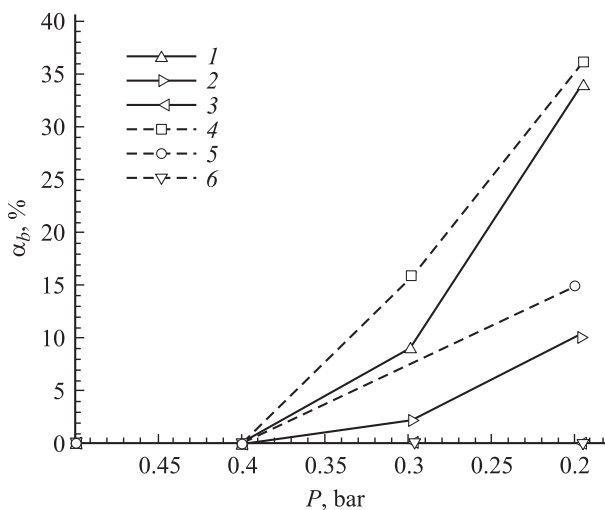
**Результаты** моделирования истечения жидкости из емкости через вертикальную трубку, в которой установлена диафрагма. Анализировалось влияние диаметра диафрагмы (рассматривались диафрагмы диаметром 5 и 10 mm). В соответствии с условиями экспериментов давление в емкости принималось равным 20 000 и 30 000 Pa. В качестве первого шага, при моделировании истечения жидкости из емкости по вертикальной трубке диаметром 10 mm с диафрагмой диаметром 5 mm, установленной на расстоянии 35 cm от емкости, проведен расчет течения без учета газовыделения. Давление окружающей среды — 30 000 Pa.

На рис. 2 приведены распределения параметров пузырьковой смеси в трубе для установившегося режима истечения. Видна существенная стратификация потока с ярко выраженным ядром, давление жидкости перед диафрагмой подрастает, а за ней падает практически вдвое по сравнению с исходным.

На рис. 3 представлены результаты сравнения расчетной зависимости объемного содержания пузырей на выходе из трубки от давления окружающей среды и экспериментальных данных. Видно, что, несмотря на некоторый произвол данных по спектру сайтов нуклеации и параметрам метастабильного состояния жидкости, принятое в расчетах логнормальное распределение зародышей по размерам с максимальным диаметром, равным  $10^{-6}$  m, дисперсией — 2.0 и концентрацией —  $10^{13}$  m<sup>-3</sup> обеспечивает удовлетворительное согласие с экспериментальными данными по объемной доле выделившегося газа.



**Рис. 2.** Распределения концентрации пузырьков (*a*), их радиуса (*b*) и объемного содержания (*c*). Давление окружающей среды — 30 000 Па, диаметр трубки — 10 мм, диаметр диафрагмы — 5 мм.



**Рис. 3.** Зависимость объемного содержания пузырей на выходе из трубки от давления окружающей среды при различных диаметрах диафрагмы, диаметр трубки — 10 мм; 1–3 — эксперимент, 4–6 — расчет, диафрагмы: 1, 4 — 5 мм; 2, 5 — 7 мм; 3, 6 — 10 мм.

Таким образом, проведенные расчеты показали эффективность выделения растворенного газа из жидкости, при этом наличие в канале диафрагмы, за которой возникает область резкого падения давления, является необходимым условием начала нуклеации пузырей и диффузии газа в образовавшиеся пузыри.

Работа выполнена при поддержке РФФИ, гранты № 05-01-00809 и 05-08-33420, и Санкт-Петербургского научного центра РАН.

## Список литературы

- [1] *Мелвин-Хьюз Э.А.* Физическая химия. М.: ИЛ, 1962. 1148 с.
- [2] *Нигматулин Р.И.* Основы механики гетерогенных сред. М.: Наука, 1978. 335 с.
- [3] *Lain S. et al.* // International Journal of Multiphase flow. 2002. V. 28. P. 1381–1407.
- [4] *Kumzerova E.Yu., Schmidt A.A.* // Proc. of 3<sup>rd</sup> International Symposium on Two-Phase Flow Modelling and Experimentation. Italy, Pisa, 2004 / Editors: J.P. Celata, P.Di. Marco, A. Maiini, R.K. Shah. ISBN88-467-1075-4. Edizioni ETS. Paper. No. MS20, 2004.
- [5] *Кедринский В.К.* Гидродинамика взрыва. Новосибирск: Изд-во СО РАН, 2000. 435 с.